

Starkniederschlagshöhen und -spenden gemäß KOSTRA-DWD-2020

Rasterfeld 122095

(Zeile 122, Spalte 95)

Regenspende und Bemessungsniederschlagswerte in Abhängigkeit von Wiederkehrzeit T und Dauerstufe D

| Dauerstufe D | | Wiederkehrzeit T | | | | | | | | | | | | | | | | | |
|--------------|-----|------------------|------------|------|------------|------|------------|------|------------|------|------------|-------|------------|-------|------------|-------|------------|-------|------------|
| | | 1 a | | 2 a | | 3 a | | 5 a | | 10 a | | 20 a | | 30 a | | 50 a | | 100 a | |
| min | Std | mm | l / (s ha) | mm | l / (s ha) | mm | l / (s ha) | mm | l / (s ha) | mm | l / (s ha) | mm | l / (s ha) | mm | l / (s ha) | mm | l / (s ha) | mm | l / (s ha) |
| 5 | | 5,5 | 183,3 | 6,7 | 223,3 | 7,4 | 246,7 | 8,4 | 280,0 | 9,8 | 326,7 | 11,2 | 373,3 | 12,2 | 406,7 | 13,4 | 446,7 | 15,2 | 506,7 |
| 10 | | 7,6 | 126,7 | 9,3 | 155,0 | 10,3 | 171,7 | 11,7 | 195,0 | 13,7 | 228,3 | 15,7 | 261,7 | 17,0 | 283,3 | 18,8 | 313,3 | 21,3 | 355,0 |
| 15 | | 9,0 | 100,0 | 10,9 | 121,1 | 12,2 | 135,6 | 13,8 | 153,3 | 16,1 | 178,9 | 18,5 | 205,6 | 20,0 | 222,2 | 22,1 | 245,6 | 25,0 | 277,8 |
| 20 | | 10,0 | 83,3 | 12,1 | 100,8 | 13,5 | 112,5 | 15,3 | 127,5 | 17,8 | 148,3 | 20,5 | 170,8 | 22,2 | 185,0 | 24,5 | 204,2 | 27,7 | 230,8 |
| 30 | | 11,4 | 63,3 | 13,9 | 77,2 | 15,4 | 85,6 | 17,5 | 97,2 | 20,4 | 113,3 | 23,4 | 130,0 | 25,4 | 141,1 | 28,0 | 155,6 | 31,7 | 176,1 |
| 45 | | 12,9 | 47,8 | 15,7 | 58,1 | 17,4 | 64,4 | 19,7 | 73,0 | 23,1 | 85,6 | 26,5 | 98,1 | 28,7 | 106,3 | 31,6 | 117,0 | 35,9 | 133,0 |
| 60 | 1 | 14,0 | 38,9 | 17,0 | 47,2 | 18,9 | 52,5 | 21,4 | 59,4 | 25,0 | 69,4 | 28,7 | 79,7 | 31,2 | 86,7 | 34,4 | 95,6 | 38,9 | 108,1 |
| 90 | 1,5 | 15,6 | 28,9 | 19,0 | 35,2 | 21,1 | 39,1 | 23,9 | 44,3 | 27,9 | 51,7 | 32,1 | 59,4 | 34,8 | 64,4 | 38,4 | 71,1 | 43,5 | 80,6 |
| 120 | 2 | 16,8 | 23,3 | 20,5 | 28,5 | 22,8 | 31,7 | 25,8 | 35,8 | 30,1 | 41,8 | 34,6 | 48,1 | 37,5 | 52,1 | 41,4 | 57,5 | 46,9 | 65,1 |
| 180 | 3 | 18,6 | 17,2 | 22,8 | 21,1 | 25,3 | 23,4 | 28,6 | 26,5 | 33,4 | 30,9 | 38,4 | 35,6 | 41,6 | 38,5 | 45,9 | 42,5 | 52,0 | 48,1 |
| 240 | 4 | 20,0 | 13,9 | 24,5 | 17,0 | 27,2 | 18,9 | 30,8 | 21,4 | 35,9 | 24,9 | 41,3 | 28,7 | 44,8 | 31,1 | 49,3 | 34,2 | 55,9 | 38,8 |
| 360 | 6 | 22,2 | 10,3 | 27,0 | 12,5 | 30,1 | 13,9 | 34,0 | 15,7 | 39,7 | 18,4 | 45,6 | 21,1 | 49,5 | 22,9 | 54,6 | 25,3 | 61,8 | 28,6 |
| 540 | 9 | 24,5 | 7,6 | 29,9 | 9,2 | 33,2 | 10,2 | 37,6 | 11,6 | 43,9 | 13,5 | 50,4 | 15,6 | 54,7 | 16,9 | 60,3 | 18,6 | 68,3 | 21,1 |
| 720 | 12 | 26,3 | 6,1 | 32,0 | 7,4 | 35,6 | 8,2 | 40,3 | 9,3 | 47,1 | 10,9 | 54,1 | 12,5 | 58,6 | 13,6 | 64,6 | 15,0 | 73,2 | 16,9 |
| 1080 | 18 | 29,0 | 4,5 | 35,3 | 5,4 | 39,3 | 6,1 | 44,5 | 6,9 | 51,9 | 8,0 | 59,7 | 9,2 | 64,7 | 10,0 | 71,3 | 11,0 | 80,8 | 12,5 |
| 1440 | 24 | 31,1 | 3,6 | 37,9 | 4,4 | 42,1 | 4,9 | 47,7 | 5,5 | 55,7 | 6,4 | 63,9 | 7,4 | 69,4 | 8,0 | 76,4 | 8,8 | 86,6 | 10,0 |
| 2880 | 48 | 36,7 | 2,1 | 44,8 | 2,6 | 49,8 | 2,9 | 56,3 | 3,3 | 65,8 | 3,8 | 75,6 | 4,4 | 81,9 | 4,7 | 90,3 | 5,2 | 102,3 | 5,9 |
| 4320 | 72 | 40,4 | 1,6 | 49,3 | 1,9 | 54,9 | 2,1 | 62,1 | 2,4 | 72,5 | 2,8 | 83,3 | 3,2 | 90,3 | 3,5 | 99,6 | 3,8 | 112,8 | 4,4 |
| 5760 | 96 | 43,3 | 1,3 | 52,9 | 1,5 | 58,8 | 1,7 | 66,5 | 1,9 | 77,7 | 2,2 | 89,2 | 2,6 | 96,8 | 2,8 | 106,7 | 3,1 | 120,8 | 3,5 |
| 7200 | 120 | 45,7 | 1,1 | 55,8 | 1,3 | 62,0 | 1,4 | 70,2 | 1,6 | 82,0 | 1,9 | 94,1 | 2,2 | 102,1 | 2,4 | 112,5 | 2,6 | 127,5 | 3,0 |
| 8640 | 144 | 47,8 | 0,9 | 58,3 | 1,1 | 64,8 | 1,3 | 73,3 | 1,4 | 85,6 | 1,7 | 98,4 | 1,9 | 106,7 | 2,1 | 117,6 | 2,3 | 133,2 | 2,6 |
| 10080 | 168 | 49,6 | 0,8 | 60,5 | 1,0 | 67,2 | 1,1 | 76,1 | 1,3 | 88,9 | 1,5 | 102,1 | 1,7 | 110,7 | 1,8 | 122,0 | 2,0 | 138,2 | 2,3 |

Starkniederschlagshöhen und -spenden gemäß KOSTRA-DWD-2020

Rasterfeld 122095

(Zeile 122, Spalte 95)

Örtliche Unsicherheiten in Abhängigkeit von Wiederkehrzeit T und Dauerstufe D

| Dauerstufe D | | Wiederkehrzeit T | | | | | | | | |
|--------------|-----|------------------|-----|-----|-----|------|------|------|------|-------|
| | | 1 a | 2 a | 3 a | 5 a | 10 a | 20 a | 30 a | 50 a | 100 a |
| min | Std | ± % | ± % | ± % | ± % | ± % | ± % | ± % | ± % | ± % |
| 5 | | 12 | 11 | 11 | 11 | 12 | 12 | 12 | 13 | 13 |
| 10 | | 11 | 12 | 13 | 14 | 15 | 15 | 16 | 16 | 17 |
| 15 | | 12 | 14 | 15 | 16 | 17 | 18 | 18 | 19 | 19 |
| 20 | | 13 | 15 | 16 | 17 | 18 | 19 | 19 | 20 | 20 |
| 30 | | 14 | 16 | 17 | 18 | 19 | 20 | 21 | 21 | 22 |
| 45 | | 15 | 17 | 18 | 19 | 20 | 21 | 22 | 22 | 23 |
| 60 | 1 | 15 | 17 | 18 | 19 | 20 | 21 | 22 | 22 | 23 |
| 90 | 1,5 | 14 | 17 | 18 | 19 | 20 | 21 | 21 | 22 | 22 |
| 120 | 2 | 14 | 16 | 17 | 18 | 19 | 20 | 21 | 21 | 22 |
| 180 | 3 | 13 | 15 | 16 | 17 | 18 | 19 | 20 | 20 | 21 |
| 240 | 4 | 12 | 14 | 15 | 17 | 18 | 19 | 19 | 20 | 20 |
| 360 | 6 | 11 | 13 | 14 | 15 | 17 | 17 | 18 | 19 | 19 |
| 540 | 9 | 11 | 12 | 13 | 14 | 15 | 16 | 17 | 17 | 18 |
| 720 | 12 | 10 | 12 | 13 | 14 | 15 | 16 | 16 | 17 | 17 |
| 1080 | 18 | 10 | 11 | 12 | 13 | 14 | 15 | 15 | 15 | 16 |
| 1440 | 24 | 10 | 11 | 11 | 12 | 13 | 14 | 14 | 15 | 15 |
| 2880 | 48 | 10 | 11 | 11 | 12 | 12 | 13 | 13 | 14 | 14 |
| 4320 | 72 | 11 | 11 | 11 | 12 | 12 | 13 | 13 | 13 | 14 |
| 5760 | 96 | 12 | 12 | 12 | 12 | 12 | 13 | 13 | 13 | 13 |
| 7200 | 120 | 13 | 12 | 12 | 12 | 12 | 13 | 13 | 13 | 13 |
| 8640 | 144 | 13 | 13 | 12 | 12 | 13 | 13 | 13 | 13 | 14 |
| 10080 | 168 | 14 | 13 | 13 | 13 | 13 | 13 | 13 | 13 | 14 |

Parameter für abweichende T und D

Lokationsparameter ξ (Xi)

14,54258726

Skalenparameter α (Alpha)

4,44794681

Formparameter κ (Kappa)

-0,1

1. Koutsoyiannis-Parameter θ (Theta)

0,05471028

2. Koutsoyiannis-Parameter η (Eta)

0,76052931

Parameter für dauerstufenübergreifende Extremwertschätzung nach KOUTSOYIANNIS et al. 1998.

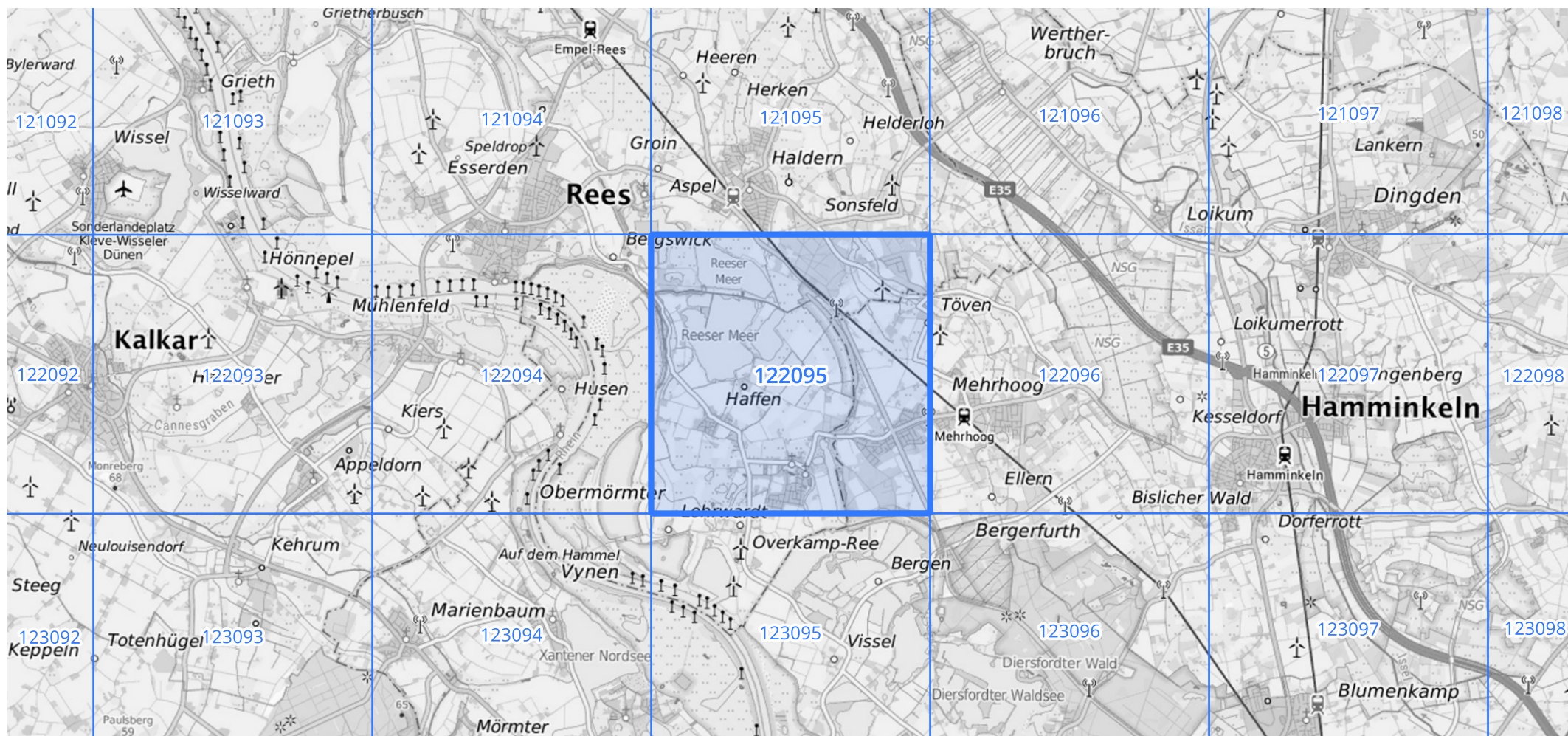
Siehe auch Anwendungshilfe zu KOSTRA-DWD-2020 des Deutschen Wetterdienstes.

Starkniederschlagshöhen und -spenden gemäß KOSTRA-DWD-2020

Rasterfeld 122095

(Zeile 122, Spalte 95)

Übersichtskarte des Rasterfeldes 122095, M 1 : 100 000



Quelle Rasterdaten: KOSTRA-DWD-2020 des Deutschen Wetterdienstes, Stand 12/2022.

Seite 3 von 3

Kartendarstellung: © Bundesamt für Kartographie und Geodäsie (2023), Datenquellen: https://sgx.geodatenzentrum.de/web_public/gdz/datenquellen/Datenquellen_TopPlusOpen.html

Für die Richtigkeit und Aktualität der Angaben wird keine Gewähr übernommen. Erstellt 01/2023.